

[要旨] 一定の大きさの弱骨材を含有するコンクリートの圧縮強度を求める方法^{1), 2)}に準據し、三種の大・中・小の弱骨材を混合した場合の強度を求める確率的手法を提案し、Bache³⁾の実験式の妥当性を検討したものである。

(記号) 供試体: 半径 R, 体積 V, 高さ H. 羽骨材: 高さ h, 厚さ t, 体積 $V = h^2 t$, 総個数 N. 強度: f. 一構成要素の大きさ: ν . 供試体の横断方向単列構成要素数: n. 体積含有率: P. 2 層間に入る弱骨材数: K. K のうち強度に有効な弱骨材数: K'. n 個中のモルタル構成要素比: g. 標準偏差: σ . 大: $(K_{me} - K_t)/n$

添字: モルタル m, 弱骨材 G, 平均値 me, 指定強度に対するもの t, 大・中・小弱骨材 G·M·S. 確定要素は図-1 参照.

§.1 大・中・小の弱骨材を含有するコンクリートの強度: 文献(1), (2)により, $K_{me} = N \cdot P$, $\sigma^2 = N \cdot P \cdot (1 - P)$, $K_t = K_{me} + t \cdot \sigma$, $K_{me} = K_{me} - K_{me}(K_{me} - 1)/(4n - 2)$, $K_t' = K_t - K_t(K_t - 1)/(4n - 2)$, $f/f_m = 8 + (1 - g)ta/f_m$ である.

大・中・小弱骨材の混合比率を W とすれば, $W_G + W_M + W_S = 1$. また, $P_g = 0.5$ の場合を求める。各弱骨材が大・単独 t, 折定の強度 P_t, 2 層間に入る個数に付けて, 実際に入る個数 X, Y は $X_{me,G} = K_{me,G} \cdot W_G$, $Y_{me,G} = K'_{me,G} \cdot W_G$, $X_{t,G} = K_{t,G} \cdot W_G$, $Y_{t,G} = K'_{t,G} \cdot W_G$, $X_{me,M} = K_{me,M} \cdot W_M$, $Y_{me,M} = K'_{me,M} \cdot W_M$, $X_{t,M} = K_{t,M} \cdot W_M$, $Y_{t,M} = K'_{t,M} \cdot W_M$, $X_{me,S} = K_{me,S} \cdot W_S$, $Y_{me,S} = K'_{me,S} \cdot W_S$ である。図-2 を参照して, (1) 大弱骨材: $X_{me,G}, Y_{me,G}$ を左側に書せる。AG = $Y_{me,G} - Y_{me,G}$.

(2) 中弱骨材: 大予算が違うので, 大予算の個数に換算する。 $(SG)_M = (X_{me,M} - Y_{me,M}) \cdot dg/dm \equiv A_0$.

$(AA + AS + AM)_M = n_{me,M} - Y_{me,M} \cdot dg/dm \equiv B_0$. $(AG - SG)_M = Y_{me,M} \cdot dg/dm - A_0 \equiv C_0$. より, 中弱骨材が入れる部屋数 $R_M = 2B_0 + C_0$, 1 部屋に入る確率 $P_M = X_{me,M}/R_M$, 大弱骨材と重なる個数 $BM = C_0 \cdot P_M \equiv M_1$, B_0 間に入る個数 $M_2 \equiv AM + SM = 2B_0 \cdot P_M$, 中弱骨材で強度に有効な個数 $AM = M_2 - M_1(M_2 - 1)/(4B_0 - 2) \equiv M_3$,

(3) 小弱骨材: $(SM)_S = (M_2 - M_3) \cdot dm/ds \equiv A_1$, 大・中弱骨材と重なることのできる部屋数 $C_1 \equiv (AM + SM)_S +$

$(AG - SG - BM)_S = (M_3 - SM)_S + (C_0 - M_1)_S = M_3 \cdot dm/ds - A_1 + (C_0 - M_1) \cdot dm/ds$, より, 小弱骨材が大中と重なることなく入れる区間 $B_1 \equiv AA + AS = n_S - AM \cdot dm/ds - AG \cdot dg/ds = n_S - M_3 \cdot dm/ds - G_3 \cdot dg/ds$, より

て小弱骨材が自由に入れる部屋数 $R_S = 2B_1 + C_1$, 1 部屋に入る確率 $P_S = X_{me,S}/R_S$, より, B_1 間に入る小弱骨材の個数 $S_2 \equiv AS + SS = 2B_1 \cdot P_S$, 強度に有効な個数 $AS = S_2 - S_2(S_2 - 1)/(4B_1 - 2) \equiv D_3$.

以上を総合して, $B_{me,(G+M+S)} = (n_S - AG \cdot dg/ds - AM \cdot dm/ds - AS)/n_S = (n_S - G_3 \cdot dg/ds - M_3 \cdot dm/ds - S_3)/n_S$, ゆえに, $T_{me,(G+M+S)}/f_m = g_{me,(G+M+S)} + (1 - g_{me,(G+M+S)})(ta/f_m)$

つまに, 断定の P_t に対する強度は $f_{t,(G+M+S)}$ では, $X_{me,G} \equiv X_{t,G} \equiv Y_{me,G} \equiv Y_{t,G} \equiv$, $X_{me,M} \equiv X_{t,M} \equiv$, $X_{me,S} \equiv X_{t,S} \equiv$ であるから, 上述の方法と同一の手順で $g_{t,(G+M+S)}/f_m$ を求めよとができる。

図-3 は, $t=3$, $W_G = W_M = W_S = 1/3$, $R=5 \text{ cm}$, $H=20 \text{ cm}$ に対する f/f_m , $ta/f_m = 0.05 \sim 0.70$ の範囲で f/f_m を求めた結果を示したものである。次に, 一定の

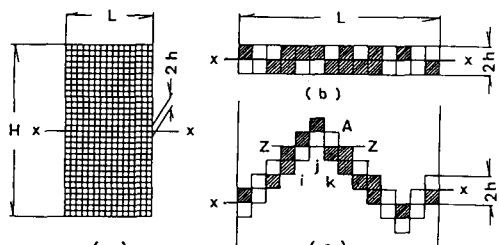


図-1 供試体の構成要素群

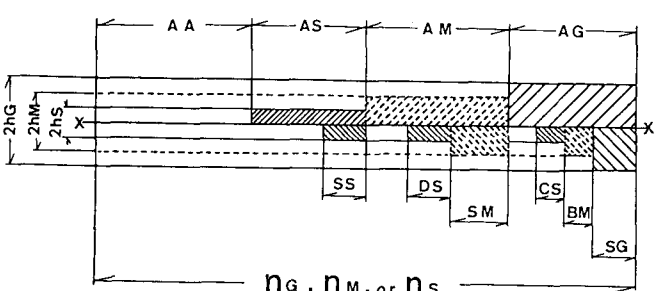


図-2 大・中・小の弱骨材を混合した場合

大きさの大小羽骨材の曲線の中間にあらが、一度の大きさの中羽骨材の曲線よりは、むしろ、小羽骨材の曲線寄りとおつていい。

§3.2 Bache³⁾の実験式の検討：Bache³⁾は、実験により、次式を提案した。

$$f/f_m = (f_a/f_m)^P \quad (1)$$

その、実験範囲および内容は次のようであつた。

$R=5\text{cm}$, $H=20\text{cm}$, $P=0, 0.3, 0.4, 0.5, 0.7, 1.0$, $f/f_m = 0.25 \sim 0.628$, $f_a/f_m = 0.05 \sim 0.239$, 羽骨材はデンマーク産の膨張粘土、その大きさは $3 \sim 20\text{mm}$ 。

ここで、 $\alpha=3$, $w_G=w_M=w_S=1/3$ とし、羽骨材を $3, (3+20)/2, 20\text{ mm}$ の直径の球とし、それらと同体積の立方体に換算して、それらの一边長を h_G, h_M, h_S としてとし、§3.2で提案した方法を用いて、 $P=0.5, 0.00135$ に対する $f/f_m \sim P$ 曲線と式(1)の曲線を図-4に示す。図より、(1) Bache³⁾の実験の下限値である $f_a/f_m = 0.05$ では、式(1)と f_a/f_m はほぼ一致している。(2)その上限値である $f_a/f_m = 0.2$ では、式(1)と $f_a/f_m \sim P$ はほぼ一致している。(3)それ以上の f_a/f_m では、 f_a/f_m が大きくなるにつれて、式(1)の f/f_m は、提案式によるものから次々に上方に離脱する。

よって、Bache³⁾の実験式は、その実験範囲の f_a/f_m においてのみ提案理論に適合しており、それ以上では適用できない。

参考文献

- 1) 伊藤和幸，“羽戻部を有するコンクリートの圧縮強度に関する論的考察”，第3回日本学会年次講演会概要集，第5部，V-ST, pp.109-110, Oct. 1982.
- 2) 伊藤和幸，“羽戻部骨材コンクリートの圧縮強度”，電力技術誌, No. 183, pp. 68-73, Mar. 1983.
- 3) Bache, H. H. and Nepper-Christensen, P., "Observations on strength and fracture in lightweight and ordinary concrete," in the book of "The Structure of Concrete and its Behaviour under Load," Pub. by British Cement and Concrete Association, Proc. of International Conference, London, pp. 93-108, Sep. 1965.

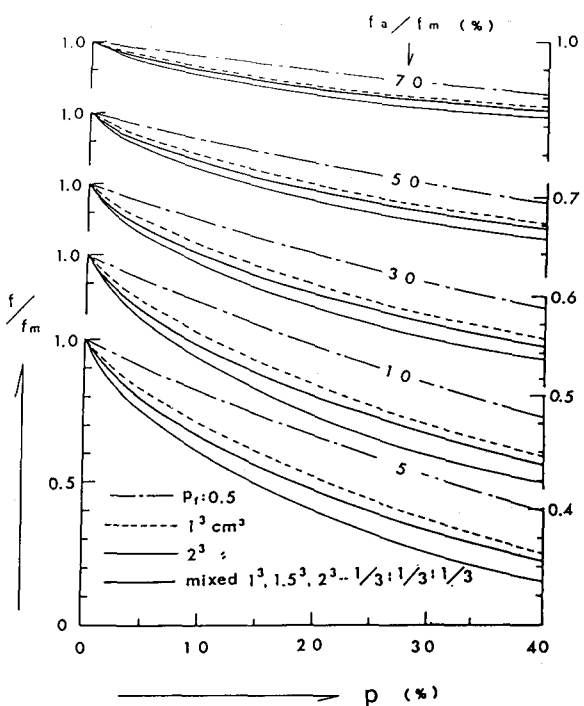


図-3 大中小の羽骨材を混合した場合の f/f_m と P の関係

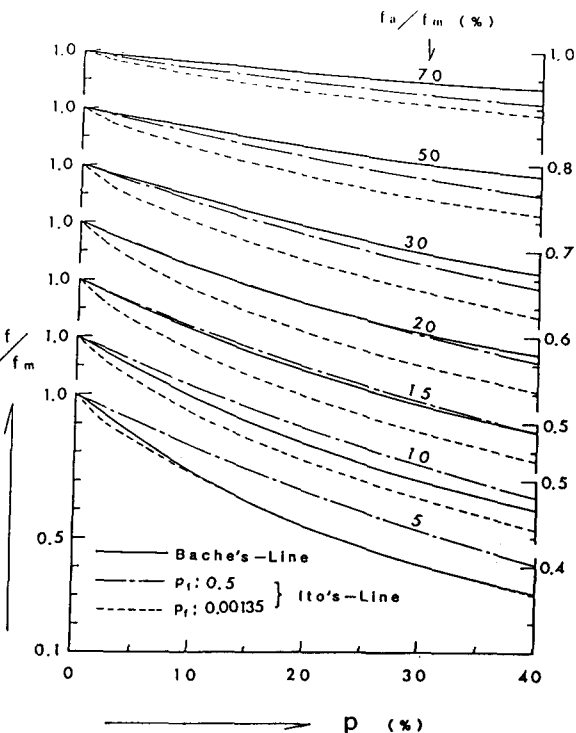


図-4 提案式とBache³⁾の実験式との比較